

武藏工業大学

正 星谷 勝

(株) 長大橋設計センター

正 友沢 武昭

(株) 長大橋設計センター

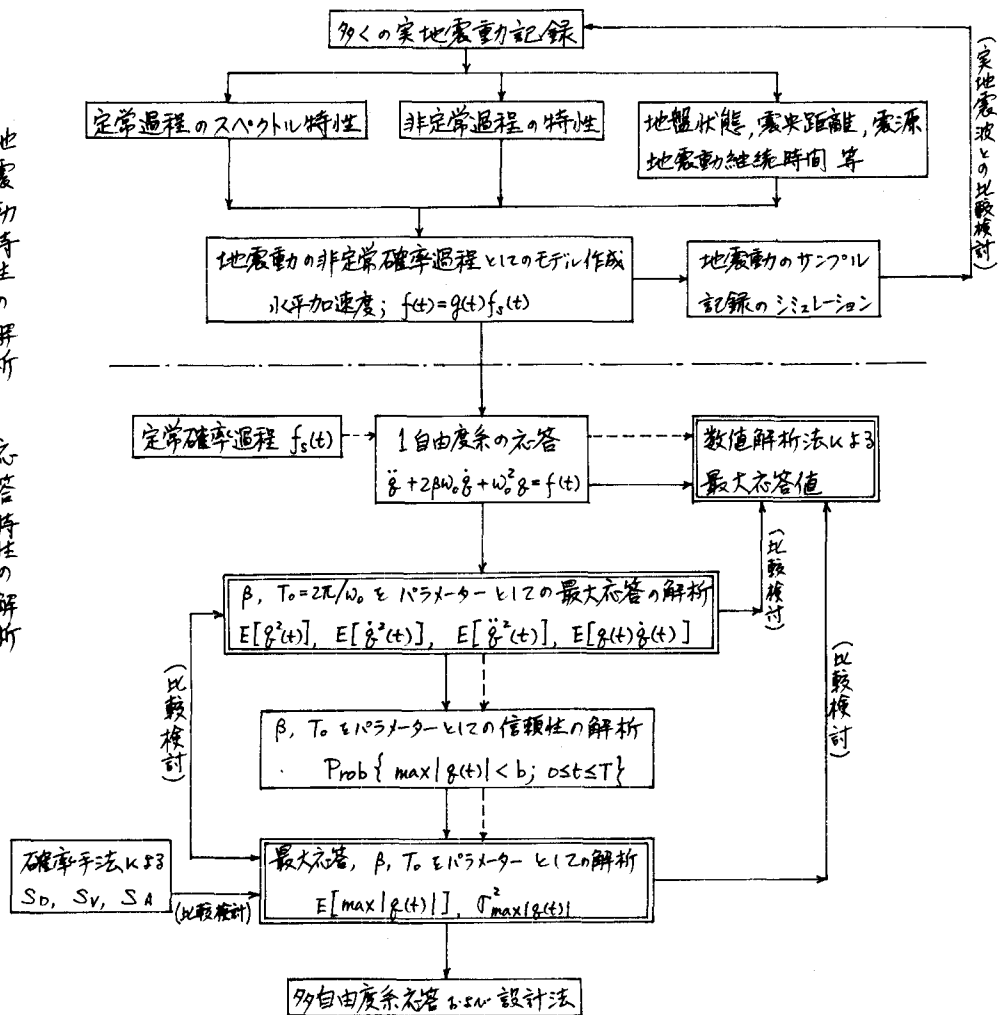
正 小川泰造

実測でみて多くの地震加速度記録の分析および整理方法を耐震設計資料の作成になるようになく不規則振動理論の立場から検討する。地震加速度の振幅、継続時間、周波数成分等は構造物の応答の重要なファクターであるが、これらは地震動の衝撃の大きさ(Magnitude), 震央距離、震源の深さ、地震動のメカニズム、および地盤性状等によつてさまざまであり、これらの関連性は未だ明瞭にされていない⁽¹⁾。このような複雑な現象である地震動に対する安全な構造物を設計する方法として (a) 安全度法 (b) 修正震度法 (c) 強震波形による直接応答解法 および (d) 不規則振動解析による検討等がある。(a)(b)は動的な現象を設計震度を導入することにより静的荷重に置き換へる方法である。また(b)は特定の地震波に対して仮定して形状の構造物の粘性減衰係数、固有周期に対する設計震度を応答スペクトルによって推定するものである。(a)の方法では応答の時間的経過および構造特性の応答値に対する影響は明らかにしない。(b)では一応動的左側面を応答スペクトルを用ひることにより取入れているが(c)の方法と同様に特定波に対しては安全な設計が行なわれたとしても、将来起つてあらう不確実な地震動に対する構造物が安全であるという保証はできない。これに奥(1)では米国における4個の強震記録8成分を用いた Housner の平均応答スペクトル⁽²⁾、日本では同様な手法による建設省土木研究所の平均応答スペクトル⁽³⁾がある。しかし個々の応答スペクトルはまわりに正確な値であるが全体としてはこれらがスペクトルを平均していふので 地震特性、地盤条件等は不明確となる。⁽⁴⁾ここで規定された地盤特性(例へばスペクトル特性)を有するような不規則確率過程としての地震動の母集団を想定し、そのサンプル実現波は地震記録に擬似するとして不規則振動理論による解析法もある。地震波を White Noise で擬似する方法、地盤を 1 自由度系とする方法等があるが、いずれも物理概念より想定されて人工地震加速度波がありそのスペクトル特性は衝撃の大きさ、震央距離、地盤性状等を考慮して実測記録とともに作成されたものではない。最近の研究では この不規則振動理論による応答スペクトルを平均値を中心分散値の形で求めた解析手法が発表されていふ。⁽⁵⁾これは特定なスペクトル特性を有する将来起り得る地震波を作り出すことができるので 確率論手法により構造物の安全性を評価できる利点があるが、未だ多くの問題 特に実地震動との関連を明らかにするなければならない。

以上を考慮して 集積されて多くの実地震記録を整理し耐震設計資料を作成する場合の作業過程をブロック圖にまとめた(図-1)。まず実地震記録は多い程よいわけであり強弱記録を向わす資料作成に使用してい。同一地域で記録された波は地震発生のメカニズムが同一ならば強弱記録のスペクトル特性は同一な形となることが報告されていふ⁽⁶⁾ Intensity を調整することにより同等に評価ができる。

第一段階では地震特性と地盤状態、震源の深さ等の関連を分析し地震加速度と地盤特性、継続時

図-1. 耐震設計法の作業プロック図



間, Intensity 等で異なる確率モデルにまとめた作業である。地震動は非定常特性を表わす確定関数 $g(t)$ と定常過程 $f_s(t)$ の積 $f(t) = g(t)f_s(t)$ で表現する。この場合任意スペクトルでも表現できるような定常過程 $f_s(t)$ の数学モデルとして次式を用いた:

$$f_s(t) = \sum_{k=1}^N \{ a_k \cos \omega_k t + b_k \sin \omega_k t \} \quad (1)$$

ここで a_k, b_k は互いに独立な平均値 0, 分散値 $\sigma_k^2 = S(\omega_k) \Delta \omega$ の正規確率変数である。 $S(\omega_k)$ ($0 \leq \omega < \infty$) は二乗平均パワースペクトルであり, $\omega_k = \omega_c + (k - 1/2) \Delta \omega$, $\Delta \omega = (\omega_u - \omega_l)/N$ 。 ω_u, ω_l はスペクトルの上限および下限値である。これを用いて地震動記録を 3 つのタイプにまとめた 1 例を図-2 に示す。継続時間が短, 中, 長の場合であり Port Hueneme, Vernon, および El Centro 地震をそれぞれ代表している。

オフ段階では 1自由度系の応答特性の解析である。平均応答スペクトルに対するものとして最大応答値が重要なとなるが、これに関連した相対変位、速度等の2乗平均値の解析を行なう。式(1)と $f(t) = g(t)f_0(t)$ を用いれば、これらの諸量は次のように非常にシンプルな形で求められる：

$$E[g^2(t)] = \sum_{k=1}^N \sigma_k^2 \{ J^2(\omega_k, t) + L^2(\omega_k, t) \} \quad (2)$$

ここで

$$J(\omega_k, t) = \int_0^t g(\xi) h(t-\xi) \cos \omega_k \xi d\xi$$

$$L(\omega_k, t) = \int_0^t g(\xi) h(t-\xi) \sin \omega_k \xi d\xi$$

同様に

$$E[\dot{g}^2(t)] = \sum_{k=1}^N \sigma_k^2 \{ \dot{J}^2(\omega_k, t) + \dot{L}^2(\omega_k, t) \}, \quad E[g(t)\dot{g}(t)] = \sum_{k=1}^N \sigma_k^2 \{ J(\omega_k, t) \dot{J}(\omega_k, t) + L(\omega_k, t) \dot{L}(\omega_k, t) \}$$

$$h(\tau) = e^{-\beta \omega_0 \tau} / \bar{\omega} \sin \bar{\omega} \tau, \quad \bar{\omega} = \omega_0 \sqrt{1 - \beta^2}$$

である。 $J(\omega_k, t)$, $L(\omega_k, t)$ は上式より 1自由度系に入力して $g(t) \cos \omega_k t$ 又は $g(t) \sin \omega_k t$ がそれぞれ与えられた時の応答値である。式(2)を用いて計算した結果を図-3に示す。

図-3. 2乗平均応答値

図-2. 地震動加速度の数学モデル

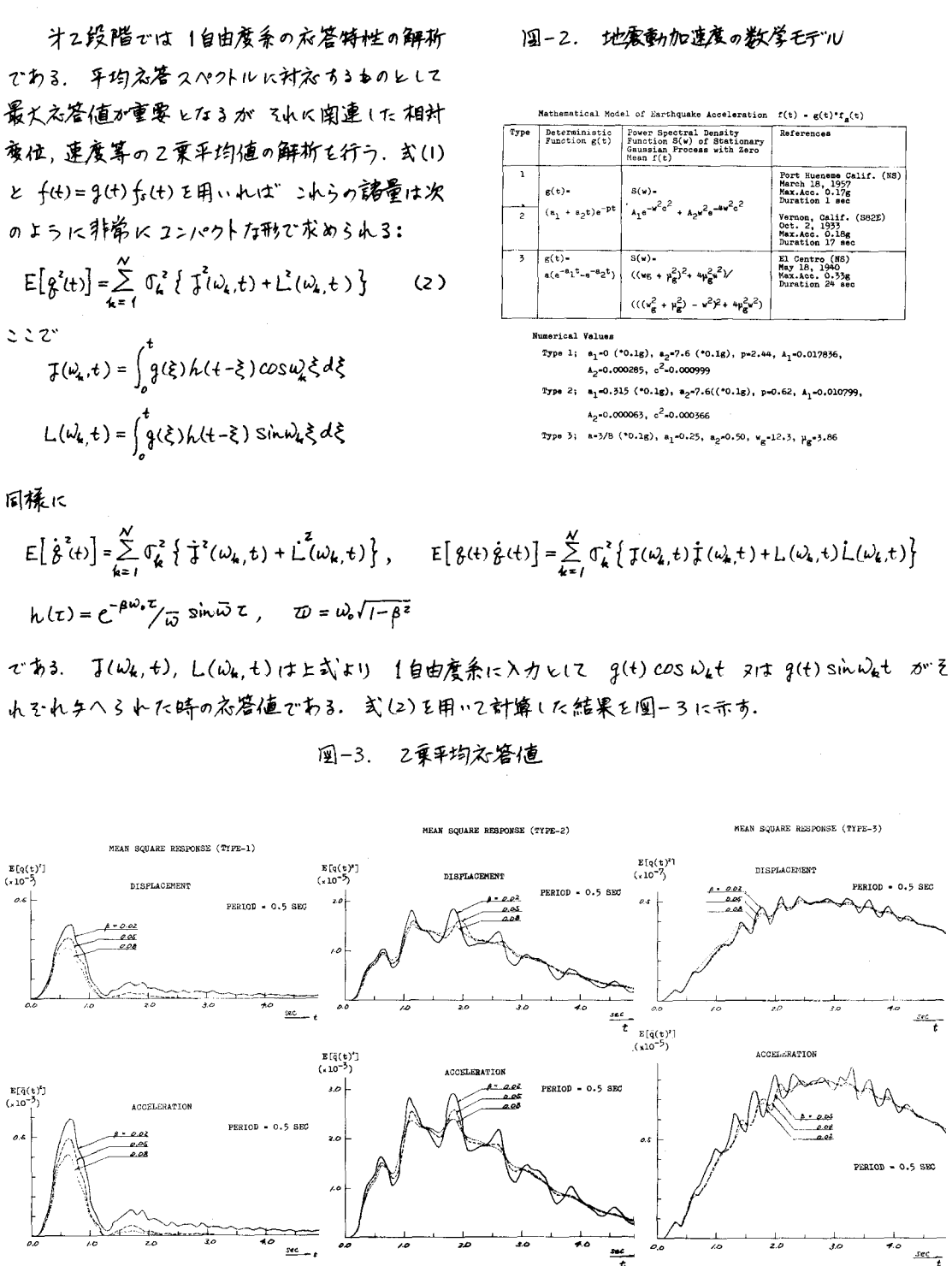
Mathematical Model of Earthquake Acceleration $f(t) = g(t)f_0(t)$			
Type	Deterministic Function $g(t)$	Power Spectral Density Function $S(\omega)$ of Stationary Gaussian Process with Zero Mean $f_0(t)$	References
1	$g(t) =$ $(a_1 + a_2 e^{-pt})$	$S(\omega) =$ $A_1 e^{-\omega^2 c^2} + A_2 e^{2\omega c^2}$	Port Hueneme, Calif. (NS) March 18, 1927 Max. Acc. 0.17g Duration 1 sec
2			Vernon, Calif. (Oct. 2, 1933) Oct. 2, 1933 Max. Acc. 0.16g Duration 17 sec
3	$g(t) =$ $a(e^{-a_1 t} - e^{-a_2 t})$	$S(\omega) =$ $((w_g + p_g^2)^2 + 4p_g^2 \omega^2) / ((w_g^2 + p_g^2) - \omega^2)^2 + 4p_g^2 \omega^2)$	El Centro (NS) May 18, 1940 Max. Acc. 0.53g Duration 24 sec

Numerical Values

Type 1: $a_1=0$ (*0.1g), $a_2=7.6$ (*0.1g), $p=2.44$, $A_1=0.017856$, $A_2=0.000285$, $c^2=0.000999$

Type 2: $a_1=0.315$ (*0.1g), $a_2=7.6$ (*0.1g), $p=0.62$, $A_1=0.010799$, $A_2=0.000063$, $c^2=0.000366$

Type 3: $a=3/8$ (*0.1g), $a_1=0.25$, $a_2=0.50$, $w_g=12.3$, $p_g=3.86$



最大応答の確率分布は未だ厳密解は求められていないが、近似法として龜田⁽⁵⁾、Iyengar⁽⁷⁾等があるが、例へば Ang and Amin⁽⁸⁾ の提案した次式を用ひることができる。
絶対応答値の最大値が一

定値を越へない確率、かならず最大応答の確率分布関数は非定常ホヤソン過程に従うとして

$$F(b, t_d) = \text{Prob} \{ \max |g(t)| \leq b; 0 \leq t \leq t_d \} = \exp \left\{ -2 \int_0^{t_d} \nu_b(\xi) d\xi \right\} \quad (3)$$

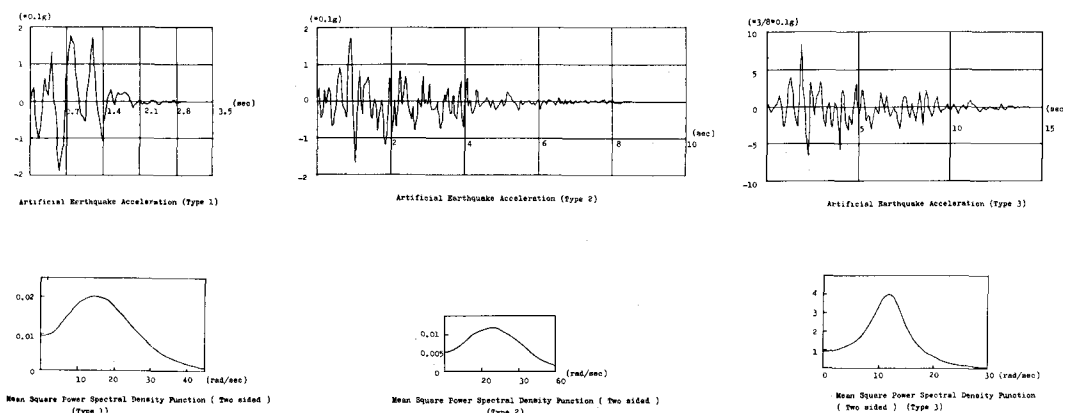
ここで

$$\nu_b(\xi) = \int_0^\infty g(\xi) f_{gg}(b, \dot{g}; \xi) dg$$

であり、 $f_{gg}(g, \dot{g}; \xi)$ は $g(t)$ と $\dot{g}(t)$ の同時確率密度関数である。式(3)を用いれば最大応答からみた応答スペクトルの平均値、分散値を計算することができ、従来の平均応答スペクトルとの対比等ができる。

図-2 に示した地震動加速度の数学モデルおよび 地震動記録(加速度)を下図に示す;

図-4. 地震動加速度波形と2乗平均パワースペクトル



(参考文献)

- 1) G. W. Housner; Probabilistic Aspects of Earthquakes, Proc. of ASCE-EMD, Specialty Conf. at Purdue Univ., pp 12, Nov. 1969
- 2) G. W. Housner; Behavior of Structures During Earthquakes, J. of EM. Div. ASCE, Oct. 1959
- 3) 高田, 大久保, 栗林; 橋梁の耐震設計に関する研究(I) - 地震応答スペクトル - 昭和40年10月
- 4) 小堀, 松崎, 藤塚; 模似地震動に関する応答スペクトル, 土木論文集 No. 198, 昭和47年2月
- 5) 魔田; 不規則地震動に対する構造物の最大応答の推定法について, 土木論文集 No. 201, 昭和47年5月
- 6) A. Castellani and V. Petrini; Response Spectra of Weak and Strong Earthquakes, Proc. of 3rd European Sym. on Earthquake Eng., Sofia, Sept. 1970
- 7) R. N. Iyengar and S. R. Iyengar; Probabilistic Response Analysis to Earthquakes, J. of EM. Div., ASCE, June, 1970
- 8) A. H. S. Ang and M. Amin; Nonstationary Stochastic Models of Earthquake Motion, J. of the Engineering Mechanics Division, ASCE, April, 1968